

## КРИТИЧЕСКИЙ ЗАРЯД В ЗАДАЧЕ ДВУХ ЦЕНТРОВ

В. С. Попов

Энергия электрона в поле точечного кулоновского центра  $Z e$  равна (для уровня  $1s$ ):

$$\epsilon_0 = \sqrt{1 - (Z\alpha)^2}, \quad (1)$$

где  $\hbar = c = m_e = 1$ ,  $\alpha = 1/137$ . Это выражение имеет особенность при  $Z = 137$ . Как заметили Померанчук и Смородинский, учет конечных размеров ядра устраняет кулоновскую особенность, и формула (1) продолжается на  $Z > 137$ . Значение  $Z = Z_c$ , при котором уровень  $1s$  присоединяется к нижнему континууму, называется критическим зарядом ядра. Квантовая электродинамика приводит к ряду характерных предсказаний в области  $Z > Z_c$ . Основным эффектом является испускание позитронов "голым" ядром, т. е. ядром с незаполненной  $K$ -оболочкой (подробности см. в [2 - 4]). Численно для сферического ядра с радиусом  $R \sim 10 \phi Z_c = 170$  (см. [2, 5]), что далеко от области известных в настоящее время тяжелых элементов. По этой причине нужно обратиться к другому способу получения сверхкритических полей, а именно при столкновении двух тяжелых ядер с зарядами  $Z_1, Z_2$  такими, что  $Z_1 + Z_2 > Z_c$  (впервые такая возможность обсуждалась в работе [6], см. также [4, 7]). При рассмотрении этого эффекта необходимо прежде всего, найти "критическое" расстояние  $R_c = R_c(Z_1, Z_2)$  в релятивистской задаче двух центров - т. е. то расстояние  $R$  между ядрами, при котором основной уровень квазимолекулы  $(Z_1, Z_2, e)$  опускается до границы  $\epsilon = -1$ . В настоящей статье излагаются результаты таких расчетов. Мы ограничимся простейшим случаем  $Z_1 = Z_2 = Z$ .

При  $Z < 137$  радиус ядра не существен, так как в кулоновском поле с  $Z < 137$  нет "падения на центр". Иными словами, разбиение полного заряда  $2Z$  на две части, находящиеся на конечном расстоянии  $R$ , уже само по себе достаточно для регуляризации задачи. Кривая уровня  $\epsilon_0 = \epsilon_0(Z)$  в задаче двух центров доходит до  $\epsilon = -1$ , не имея по пути особенностей типа (1). По этой причине будем рассматривать ядра как точечные (радиусы тяжелых ядер  $r_0 \sim 8\phi$ , что много меньше радиуса  $K$  орбиты  $r_K = (1 + 2\sqrt{1 - \zeta^2})/2\zeta = 700 \phi$  для  $U$ ).

Реально превышение  $2Z$  над  $Z_c$  невелико (для ядер урана  $\delta = (2Z - Z_c)/Z_c = 0,08$ , для  $Sf + Cf$   $\delta = 0,15$ ), поэтому  $R_c < \hbar/m_e c = 1$ . В области  $\delta \ll 1$  можно получить для  $R_c$  простую формулу, если воспользоваться методом сшивания асимптотических разложений. Поясним основную идею на примере бесспиновых частиц.

Из уравнения Клейна—Гордона с  $\epsilon = -1$  определяется вид волновой функции  $\psi_0$  на малых и больших расстояниях [7]. Вблизи ядер

$$\psi_0(\xi; \eta) = (\xi^2 - \eta^2)^{-\sigma/2}, \quad \sigma = 1 - \sqrt{1 - \zeta^2}, \quad (2)$$

в то время как в области  $r_1, r_2 \gg R$  ядра можно рассматривать как единое целое и потому

$$\psi_0 = r^{-1/2} K_{i\nu}(\sqrt{8\zeta r}), \quad \nu = \sqrt{4\zeta^2 - 1}. \quad (3)$$

Здесь  $\zeta = 2Z/137$ ,  $K_{i\nu}(x)$  — функция Макдональда,  $\xi = (r_1 + r_2)/R$  и  $\eta = (r_1 - r_2)/R$  — эллиптические координаты. При условии  $R \ll 1$  имеется промежуточная область  $R \ll r \ll 1$ , в которой  $\xi \gg 1$ ,  $\eta$  и асимптотики (2) и (3) сшиваются друг с другом. Можно показать, что в этой области  $r$  волновая функция зависит в основном от переменной  $\xi$  и притом степенным образом. Приравнивание показателей степени для внутреннего и внешнего решения с энергией  $\epsilon = -1$  дает уравнение для критического расстояния между ядрами:

$$R_c = \frac{1}{\zeta} \exp \left\{ -\frac{2}{\nu} \left[ \operatorname{arc} \operatorname{ctg} \frac{1 - 2\sqrt{1 - \zeta^2}}{\sqrt{4\zeta^2 - 1}} - \arg \Gamma(1 + i\nu) \right] \right\} \quad (4)$$

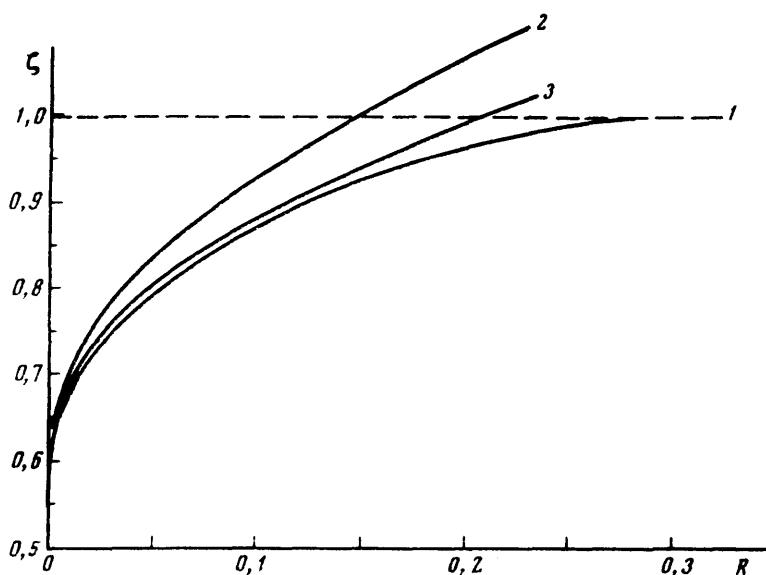


Рис. 1. Критический заряд для скалярных частиц ( $R$  в единицах  $\hbar/mc$ )

(см. кривую 1 на рис. 1). Очевидно, что та же кривая дает критический заряд  $\zeta_c$  при фиксированном расстоянии между ядрами  $R$ . Для сравнения на рис. 1 показаны кривые, полученные из точного решения [2] для  $\zeta_c$  в случае сферического ядра с радиусом, равным  $R/2$  (кривая 2 отвечает поверхностному распределению заряда, кривая 3 — объемному). С помощью вариационного принципа [7] нетрудно строго доказать, что кривая 2 должна идти выше истинной кривой  $\zeta_c(R)$  в задаче двух центров. Расположение кривых 1 и 2 удовлетворяет этому требованию. Обращает на себя внимание близость кривых 1 и 3, что означает приблизительную эквивалентность (в смысле  $Z_c$ ) двух

распределений: 1) два точечных центра  $Z$  на расстоянии  $R$ ; 2) сферическое ядро с диаметром  $R$  и зарядом  $2Z$ , равномерно заряженное по объему.

В случае спина  $s = 1/2$  вычисления аналогичны, хотя и более громоздки. Приведем ответ:

$$R_c = \frac{1}{\zeta} \exp \left\{ - \frac{1}{g} \left[ \operatorname{arc} \operatorname{ctg} \frac{\zeta^2 - 1 - \sqrt{4 - \zeta^2}}{\sqrt{\zeta^2 - 1}(1 + \sqrt{4 - \zeta^2})} - \operatorname{arg} \Gamma(1 + 2ig) \right] \right\}, \quad (5)$$

где теперь  $g = \sqrt{\zeta^2 - 1}$ ,  $1 < \zeta < 2$ . Эта зависимость представлена на рис. 2 (обозначения кривых 1-3 имеют тот же смысл, что и на рис. 1). Разумеется, при  $R < 20 \phi$ , когда ядра сливаются, формула (5) уже неприменима. Здесь должно получиться то же значение  $\zeta_c = 1,25$ , что и для одного протяженного ядра. В интересующей нас области значений  $R$  зависимость  $Z_c$  от  $R$  приблизительно линейна (см. пунктирную прямую на рис. 2). Отсюда для ядер урана  $R_c \approx 40 \phi$ , для  $\text{Cf} + \text{Cf}$   $R_c \approx 60 \phi$ .

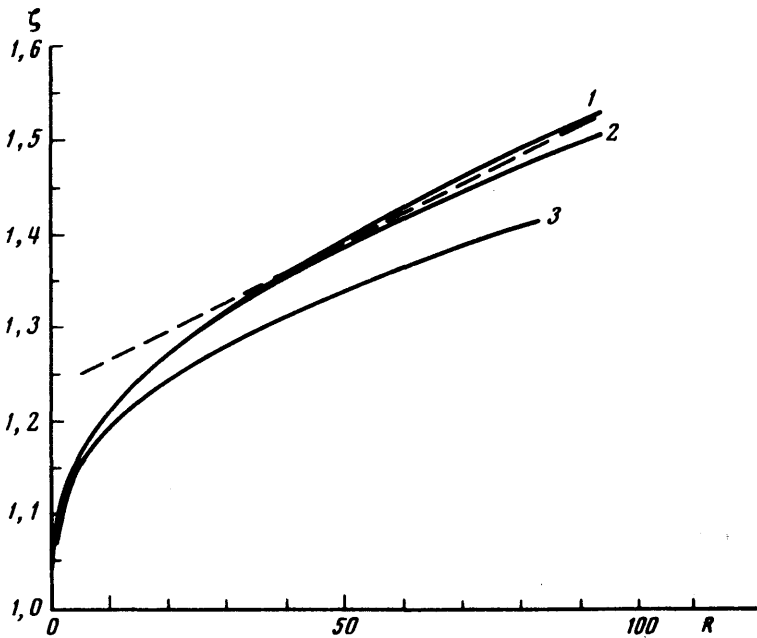


Рис. 2. Критический заряд для электронов ( $R$  в ферми)

В заключение скажем несколько слов о точности асимптотик (4), (5). Для проверки их тем же методом были решены две задачи, где известно точное решение; 1) связанный уровень в поле двух  $\delta$ -потенциалов; 2) критический заряд  $Z_c$  для одного протяженного ядра. В обоих случаях получилось вполне удовлетворительное согласие с точным решением. Так, для критического заряда  $Z_c = 137 \zeta_c$  в сфери-

ческом ядре с радиусом  $r_0$  получается формула:

$$r_0 = \frac{1}{2\xi} \exp \left\{ -\frac{1}{g} \left[ \operatorname{arc} \operatorname{ctg} \left( -\frac{\xi}{g} \right) - \operatorname{arg} \Gamma(1 + 2ig) \right] \right\} \quad (6)$$

( $\xi = [r G' / G]_{r=r_0}$  — логарифмическая производная волновой функции на краю ядра), которая в области  $r_0 \sim 10 \text{ ф}$  дает ошибку не более 1%.

Автор искренне благодарен С.С.Герштейну за полезные обсуждения в ходе работы, а также Л.Б.Окуню и А.М.Переломову за обсуждение результатов.

Институт теоретической  
и экспериментальной физики

Поступила в редакцию  
21 июля 1972 г.

### Литература

- [ 1 ] I.Pomeranchuk, Ya. Smorodinsky. J. of Phys. USSR, 9, 97, 1945.
- [ 2 ] В.С.Попов. ЯФ, 12, 429, 1970.
- [ 3 ] В.С.Попов. ЖЭТФ, 59, 965, 1970; 60, 1228, 1971.
- [ 4 ] Я.Б.Зельдович, В.С.Попов. УФН, 105, 403, 1971.
- [ 5 ] W.Pieper, W.Greiner. Zeits. Phys., 218, 327, 1969.
- [ 6 ] С.С.Герштейн, Я.Б.Зельдович. ЖЭТФ, 57, 654, 1969; Nuovo Cim. Lett., 1, 835, 1969.
- [ 7 ] В.С.Попов. ЯФ, 14, 458, 1971.